

УДК 537.634.8

МАГНИТОУПРУГИЕ ВОЛНЫ В РОМБОЭДРИЧЕСКИХ АНТИФЕРРОМАГНЕТИКАХ

И. Е. Дикштейн, В. В. Тарасенко

Исследовано распространение магнитоупругих волн в ромбоэдрических антиферромагнетиках. Показано, что учет ромбоэдрической магнитной анизотропии и дипольной энергии необходим для определения основного состояния антиферромагнетика и направления распространения и поляризации мягкой акустической моды.

1. Ромбоэдрические антиферромагнетики (АФ) $\alpha\text{-Fe}_2\text{O}_3$ и FeBO_3 являются классическими объектами для исследования магнитоупругих явлений. Именно на этих кристаллах наблюдались рекордные изменения скорости звука как функции магнитного поля H и давления P [1–5]. Теоретический анализ магнитоупругих явлений в таких АФ проводился в работах [6–8], в которых предсказывалось уменьшение скорости поперечного звука до своего предельного значения, близкого к нулю, для определенных направлений волнового вектора k и поляризации волны при $H=0$, а также при $H=H_c(P)$ в случае ориентационного фазового перехода (ФП) по полю и давлению. Отметим, что ориентационный ФП является частным случаем ФП ферроэластического типа, к которым относятся ФП в собственных сегнетоэластиках. В последних было обнаружено уменьшение звука более чем на порядок в окрестности точки Кюри [9]. В ромбоэдрических же АФ максимальное уменьшение скорости звука составляло 20–30 % [1–5]. Расхождение результатов теории и эксперимента может быть вызвано рядом факторов. Прежде всего к ним относятся структурные и магнитные неоднородности образцов, в том числе и доменная структура. В частности, если при ориентационном ФП образец разбивается на домены [10], то в нуль обращается фазовая и групповая скорость магнитоупругой волны с волновым вектором $k=k_c$, отличным от нуля, где k_c — обратный период зарождающейся доменной структуры. Другая важная причина расхождения теории и эксперимента состоит в том, что в [6] рассматривалась упрощенная модель АФ, который предполагался изотропным, упругим и магнитоупругим. Более реалистическая модель ромбоэдрического АФ рассматривалась в [7]. Однако поскольку в этой работе пренебрегалось выходом антиферромагнитного вектора из базисной плоскости, в ней естественно не учитывалась ромбоэдрическая магнитная анизотропия. Кроме того, в [7] не учитывалась энергия дипольного взаимодействия. Поэтому результаты [7] адекватно описывают экспериментальные данные лишь для случая достаточно больших полей $H \gg \max\{H_c, H_1\}$ ($H_c = 2H_E H_A / H_D$ и $H_1 = 4\pi M H_D / H_E$ — характерные поля ромбоэдрической анизотропии и дипольного взаимодействия соответственно для $\alpha\text{-Fe}_2\text{O}_3$ [3, 11] $H_c \sim 15$ Э и $H_1 \sim 26$ Э при $T=297$ К, для FeBO_3 [3] $H_1 \sim 216$ Э при $T=297$ К, H_c неизвестно, H_A , H_D и H_E — поля ромбоэдрической анизотропии, Дзялошинского и обмена соответственно) и заведомо неприменимы при $H \sim \max\{H_c, H_1\}$. В частности, если магнитное поле $H=H_c$ приложено в базисной плоскости кристалла, перпендикулярно одной из осей второго порядка, то в АФ произойдет

ориентационный ФП второго рода, который не может не повлиять на спектр магнитоупругих волн в ромбоэдрическом АФ.

В настоящей работе исследовано влияние анизотропии и дипольных сил на спектр магнитоупругих волн в идеальных ромбоэдрических АФ без доменной структуры. Определена величина поля ориентационного ФП с учетом магнитострикции. Показано, что дипольное поле и ромбоэдрическую анизотропию необходимо учитывать для определения направления распространения и поляризации мягкой акустической моды. Информация об условиях возникновения и характере распространения акустической моды может быть использована для ее целенаправленного поиска.

2. Рассмотрим антиферромагнетики с точечной группой симметрии D_{3d}^6 . В настоящее время известно несколько десятков таких кристаллов [12]. Плотность свободной энергии антиферромагнетика представим в виде

$$F = F_M + F_{MY} + F_Y, \quad (1)$$

$$\begin{aligned} F_M = 2M & \left\{ H_E m^2 - H_D (m \times l)_z + \frac{1}{2} [H_A l_z^2 + H_{A1} m_z^2 + H_{A2} l_z^4 + \right. \\ & + H_{A3} (l_+^3 - l_-^3) l_z / 2i + H_{A4} (l_+^3 + l_-^3) m_z / 2 + H_{A5} (l_+^6 + l_-^6) / 2] - \\ & \left. - m H_D / 2 - m H + \frac{1}{2} \alpha M (\nabla_{x_i} l)^2 \right\}, \end{aligned}$$

$$\begin{aligned} F_{MY} = B_+ (l_x^2 + l_y^2) e_+ + (B_{66} e_- + B_{14} e_4) (l_x^2 - l_y^2) + 2 (B_{66} e_6 + B_{14} e_5) l_x l_y + B_{33} l_z^2 e_3 + \\ + (B_{44} e_4 + B_{41} e_5) l_y l_z + (B_{44} e_5 + B_{41} e_6) l_x l_z, \end{aligned}$$

$$F_Y = \frac{1}{2} [c_+ e_+^2 + c_{66} e_-^2 + c_{33} e_3^2 + c_{66} e_6^2 + c_{44} (e_4^2 + e_5^2) + 2c_{13} e_+ e_3 + 2c_{14} (e_- e_4 + e_5 e_6)]$$

— магнитная [13], магнитоупругая и упругая части свободной энергии; $l = (M_1 - M_2) / 2M$, $m = (M_1 + M_2) / M$, M_1 и M_2 — намагниченность подрешеток, $|M_1| = |M_2| = M$; H_d и H_A — поля дипольного взаимодействия и анизотропии; α , B — константы неоднородного обмена и магнитострикции соответственно; $c_{\alpha\beta}$ и e_α — компоненты тензоров упругих модулей и деформации; $c_+ = (c_{11} + c_{12}) / 2$, $e_\pm = e_1 \pm e_2$, $B_+ = (B_{11} + B_{12}) / 2$, $l_\pm = l_x \pm i l_y$.

В гематите вдали от точки Морина T_M ($T_M < T < T_N$) поле ромбоэдрической анизотропии $H_{A'} = 18 (H_{A5} + H_{A3}^* / 8H_A^*) > 0$, $H_A^* \gg H_{A'}$ и $H_E \gg H_A^*$, H_D , H_{A4} , где $H_A^* = H_A + (H_{e1} - H_{e2}) / 2 + H_{e5}$, $H_{A2}^* = H_{A2} + (H_{e2} - H_{e1} / 2 - H_{e4} - H_{e5}) / 2$, $H_{A3}^* = H_{A3} + H_{e3}$ — эффективные константы анизотропии, перенормированные за счет магнитоупругой связи; $H_{e1} = 2 (B_{66}^2 c_{44} - 2B_{66} B_{14} c_{14} + B_{14}^2 c_{66}) / c_2 M$, $H_{e2} = (c_{66} B_{44}^2 - 2c_{14} B_{41} B_{44} + c_{44} B_{41}^2) / c_2 M$, $H_{e3} = [(c_{14} B_{66} - c_{66} B_{14}) B_{44} + B_{41} (B_{14} c_{14} - B_{66} c_{44})] / c_2 M$, $H_{e4} = 2 (B_+ c_{13} + B_{33} c_+) \times B_{33} / c_2 M$, $H_{e5} = 2 (B_+^2 c_{33} + B_{33} B_+ c_{13}) / c_3 M$, $c_2 = c_{66} c_{44} - c_{14}^2$, $c_3 = c_+ c_{33} - c_{13}^2$. Пусть поле $H \ll H_E$ приложено перпендикулярно тригональной оси z . В принятых приближениях равновесные направления намагниченности подрешеток и спонтанные деформации $e_d^{(0)}$ определяются из следующих соотношений

$$\left. \begin{aligned} \sin \vartheta &= -H_{A3}^* \cos 3\varphi / 2H_A^*, \quad 6H \Delta \Phi \sin (\varphi - \varphi_H) + H_{A'} \sin 6\varphi = 0, \\ (\varphi_1 - \varphi_2) / 2 &= \pi/2 - \Delta \Phi, \quad \Theta = (\vartheta_1 + \vartheta_2) / 2 = -H_{A4} \sin 3\varphi / 4H_E \sim m_z, \\ \Delta \Phi &= [H_D + H \cos (\varphi - \varphi_H)] / 2H_E, \quad \vartheta = (\vartheta_1 - \vartheta_2) / 2 = (\widehat{l, z}), \\ \varphi &= (\varphi_1 + \varphi_2) / 2 = (\widehat{m, x}), \quad \varphi_H = (\widehat{H, x}), \quad \sigma_\alpha^{(0)} = \delta F / \delta e_\alpha^{(0)} = 0, \end{aligned} \right\} \quad (2)$$

где ϑ , φ — полярные и азимутальные углы подрешеток.

Приведем решение системы уравнений (2) для некоторых частных случаев. Если магнитное поле приложено вдоль одной из осей второго порядка, например $H \parallel x$ ($\varphi_H = 0$), решение системы уравнений (2) представим в виде

$$\varphi = \Theta = 0, \quad \vartheta = -H_{A3}^* / 2H_A^*, \quad (\varphi_1 - \varphi_2) / 2 = \pi/2 - (H + H_D) / 2H_E.$$

В этом случае отличны от нуля компоненты m_x, l_y, l_z и реализуется фаза 2^+I^+ [14], где 2 — ось второго порядка, I — инверсия, \pm — четность относительно элементов симметрии.

Если магнитное поле приложено в базисной плоскости кристалла перпендикулярно оси второго порядка, например $H \parallel y$ ($\varphi_H = \pi/2$), то при $H > 2H_E H_{A'} / H_c = H_c$ решения системы уравнений (2) имеют вид

$$\varphi = \pi/2, \quad \Theta = H_{A4}/4H_E, \quad \vartheta = 0, \quad (\varphi_1 - \varphi_2)/2 = \pi/2 - (H + H_D)/2H_E.$$

В этом случае отличны от нуля компоненты m_y, m_z, l_x и реализуется фаза 2^-I^+ [14]. При $H < H_c$ реализуется угловая фаза I^+ , в которой отличны от нуля все компоненты m и l . При $H = H_c$ в системе происходит ФП второго рода из угловой фазы I^+ в фазу 2^-I^+ .

Используя уравнения движения магнитных моментов подрешеток, в которые для учета затухания введен релаксационный член в форме Гильберта, а также уравнения теории упругости и магнитостатики, получаем уравнения для определения спектра квазиупругих волн в ромбодиадических АФ

$$\rho\omega^2 u_i - c_{ijkl}^* k_j k_l u_m = 0, \quad c_{\alpha\beta}^* = c_{\alpha\beta} - \Delta c_{\alpha\beta}(\omega, \mathbf{k}), \quad (3)$$

где c^* — эффективные модули жесткости;

$$\Delta c_{\alpha\beta} = 4g^2 H_E [a_\alpha a_\beta \varepsilon_2^2 - (a_\alpha b_\beta + a_\beta b_\alpha) \varepsilon_3^2 + b_\alpha b_\beta \varepsilon_1^2] / [M(\omega_{ik}^2 - i\omega g \Delta H)(\omega_{2k}^2 - i\omega g \Delta H)],$$

$$\begin{aligned} \varepsilon_1^2 &= g^2 H_E [2H \Delta \Phi \cos(\varphi - \varphi_H) + 36(H_{A5} \cos 6\varphi + H_{A3}^{*2} \cos^2 3\varphi / 8H_A^*) + \\ &\quad + 4\pi M H_D^2 (x_y \cos \varphi - x_x \sin \varphi)^2 / H_E^2 + 2H_{e1} + 4H_{es3} \cos 3\varphi], \\ \varepsilon_2^2 &= 2g^2 H_E (H_A^* + H_D \Delta \Phi + H_{e2}/2 + 2\pi M H_D^2 x_z^2 / H_E^2), \end{aligned}$$

$$\varepsilon_3^2 = -g^2 H_E [(3H_{A3}^* - 2H_{e3}) \sin 3\varphi + 4\pi M H_D^2 x_z (-x_x \sin \varphi + x_y \cos \varphi) / H_E^2],$$

$$a_- = B_{66} \sin 2\varphi + \frac{3}{2} B_{41} \sin \varphi, \quad a_6 = -B_{66} \cos 2\varphi + \frac{3}{2} B_{41} \cos \varphi,$$

$$a_5 = -B_{14} \cos 2\varphi + \frac{3}{2} B_{44} \cos \varphi, \quad a_4 = B_{14} \sin 2\varphi + \frac{3}{2} B_{44} \sin \varphi,$$

$$b_- = -\frac{1}{2} B_{41} \cos \varphi + \frac{3}{2} B_{66} \cos 2\varphi, \quad b_6 = \frac{1}{2} B_{41} \sin \varphi + \frac{3}{2} B_{66} \sin 2\varphi,$$

$$b_4 = -\frac{1}{2} B_{44} \cos \varphi + \frac{3}{2} B_{14} \cos 2\varphi, \quad b_5 = \frac{1}{2} B_{44} \sin \varphi + \frac{3}{2} B_{14} \sin 2\varphi,$$

$$b_+ = -\frac{3}{2} B_{33}, \quad b_3 = \frac{3}{2} B_{33},$$

$\omega_{1,2k}^2 = \varepsilon_1^2 / \varepsilon_2^2 \mp \varepsilon_3^4 / \varepsilon_2^2$ — частоты АФМР; g — гиромагнитное отношение; $x = k / |k|$.

Зависимость $c_{\alpha\beta}^*(\omega, \mathbf{k})$ отражает пространственную и временную дисперсию квазиупругих волн, обусловленную магнитострикцией. В отличие от [7] тензор c^* зависит от направления распространения волны из-за учета дипольного взаимодействия. При магнитных фазовых переходах симметрия системы изменяется, что находит свое отражение в появлении новых компонентов тензора c^* , связанных со структурными искажениями решетки. Решения уравнений (3), описывающих распространение квазиупругих волн в кристалле, находятся численно (рис. 1—3). Рассмотрим некоторые частные случаи, поддающиеся аналитическому рассмотрению.

А) Пусть магнитное поле приложено параллельно одной из осей второго порядка, например $H \parallel x$. В этом случае частоты квазиупругих волн, распространяющихся вдоль оси x , равны

$$\rho\omega_1^2 = (c_{11} - \Delta c_{-}/2) k^2, \quad \mathbf{q}_1 \parallel \mathbf{x} \quad (4)$$

$$\rho\omega_2^2 = (c_{55}^* + c_{66}^*) k^2 - \rho\omega_3^2, \quad (\mathbf{q}_2), \quad (5)$$

$$\begin{aligned} \rho \omega_3^2 &= (c_{55}^{*2} c_{66}^{*2} - c_{56}^{*2}) k^2 / (c_{55}^{*2} + c_{66}^{*2}), \quad (\text{q}_3), \\ \omega_{1k}^2 &= g^2 [H(H_D + H) + 2H_E(H_{me} + H_{A'}) + 4\pi M H_D^2 H_E^{-1} k_y^2], \\ \Delta c_- &= g^2 H_E B_{11}^2 / [2M(\omega_{1k}^2 - i\omega g \Delta H)], \end{aligned} \quad (6)$$

\mathbf{q}_3 — вектор поляризации волны, $H_{me} = H_{e1} + 2\theta H_{e3}$, $\mathbf{k} \parallel \mathbf{x}$. Скорость $v = \omega_3/k$ и затухание $\gamma = \text{Im } k(\omega_3)$ медленной поперечной квазиупругой волны ω_3 (волна I) равны

$$\begin{aligned} v &= s_0 \xi, \quad \gamma = 2g^2 \omega^2 H_{me} H_E \Delta H / (s_0 \omega_{1k}^4 \xi^3), \quad (7) \\ s_0^2 &= \rho^{-1} (c_{55} c_{44} - c_{14}^2) / (c_{55}^* + c_{66}^*), \quad \xi^2 = [H(H + H_D) + 2H_E H_{A'}] \times \\ &\times [H(H + H_D) + 2H_F(H_{A'} + H_{me})]^{-1}. \end{aligned}$$

Вектор поляризации \mathbf{q}_3 этой волны, направленный под углом ψ_u к плоскости базиса ($\tan \psi_u = c_{56}^*/(\rho v^2 - c_{55}^*)$) зависит от \mathbf{H} . Впервые на это обстоятельство

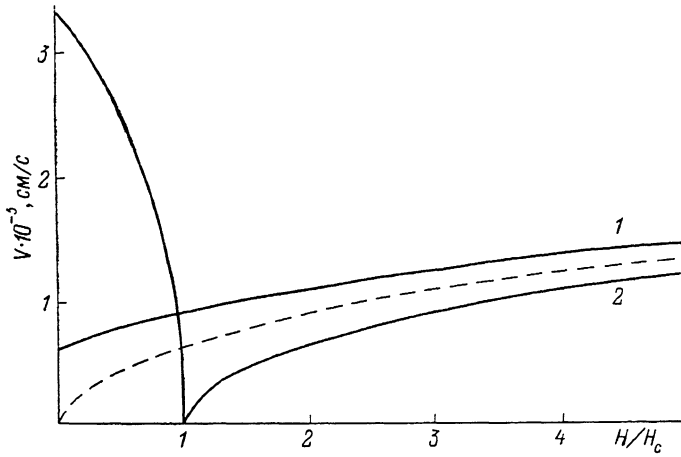


Рис. 1. Зависимость скорости магнитоупругих волн в гематите от приведенной напряженности внешнего магнитного поля $h = H/H_c$.

1 — $\mathbf{H} \parallel \mathbf{x}$; 2 — $\mathbf{H} \parallel \mathbf{y}$, волна распространяется в плоскости симметрии кристалла yz под углом Ψ_{kc} к плоскости базиса xy . В отсутствие ромбоэдрической анизотропии и дипольных полей зависимости $v(h)$ в случаях 1 и 2 совпадают. На графике эта зависимость изображена штриховой линией.

было обращено внимание в [8]. Для $\alpha = \text{Fe}_2\text{O}_3$ $H_{A'} \sim 1.8 \cdot 10^{-2} \text{ Э}$, $H_{me} \sim 0.585 \text{ Э}$ при $T = 297 \text{ К}$ [3], а максимальное изменение скорости этой волны $\epsilon = \frac{v(H \rightarrow \infty) - v(H \rightarrow 0)}{v(H \rightarrow \infty)} \sim 80\%$, ¹ для FeBO_3 [8] $H_{me} \sim 3.8 \cdot 10^{-2} \text{ Э}$ при $T = 297 \text{ К}$, $H_{A'}$ неизвестно.

Частота поперечной квазиупругой волны с поляризацией $\mathbf{q} \parallel \mathbf{x}$, распространяющейся в плоскости yz , равна

$$\omega^2 = c_{55}^{*-1} [(c_{55}^* k_x - c_{56}^* k_y)^2 + (c_{55}^* c_{66}^* - c_{56}^* k_y^2) k_y^2]. \quad (8)$$

Скорость и затухание этой волны (волна II) при распространении под углом Ψ_{kc} к плоскости базиса ($\Psi_{kc} = -c_{56}^*/c_{55}^*$) определяются выражениями (7), в которых следует положить $k = |\mathbf{k}|$ и

$$\begin{aligned} \xi^2 &= [H(H + H_D) + 2H_E H_{A'} + 4\pi M H_D^2 H_E^{-1}] [H(H + H_D) + \\ &+ 2H_E(H_{A'} + H_{me}) + 4\pi M H_D^2 H_E^{-1}]^{-1} \end{aligned} \quad (9)$$

Для $\alpha = \text{Fe}_2\text{O}_3$ при $H \rightarrow 0$ имеем $\epsilon \sim 29\%$, ² а для FeBO_3 — $\epsilon \sim 2\%$. Дальнодействующие поля размагничивания приводят к невзаимности квази-

¹ В [8] в этом случае получена величина $\epsilon = 100\%$, поскольку в ней не учитывались поля размагничивания и анизотропии.

² В [7] в этом случае получена величина $\epsilon = 100\%$, поскольку в ней не учитывались поля размагничивания и анизотропии.

упругих волн³ в том смысле, что скорости волн I и II при $\phi_a = \phi_k$ не равны друг другу [6]. Действие дипольных сил на спектр магнитоупругих волн в FeBO_3 ($H_p H_E^{-1} \sim 1.65 \cdot 10^{-2}$) значительно сильнее, чем в $\alpha\text{-Fe}_2\text{O}_3$ ($H_p H_E^{-1} \sim 2.4 \cdot 10^{-3}$). Поэтому магнитоупругие волны в FeBO_3 обладают большой угловой дисперсией, т. е. значительным изменением скорости звука в малом интервале углов распространения. Влияние ромбоэдрической анизотропии на скорость звука возрастает при приближении к точке Морина.

Б. В случае, если магнитное поле приложено в базисной плоскости кристалла перпендикулярно одной из осей второго порядка, $H \parallel y$, то

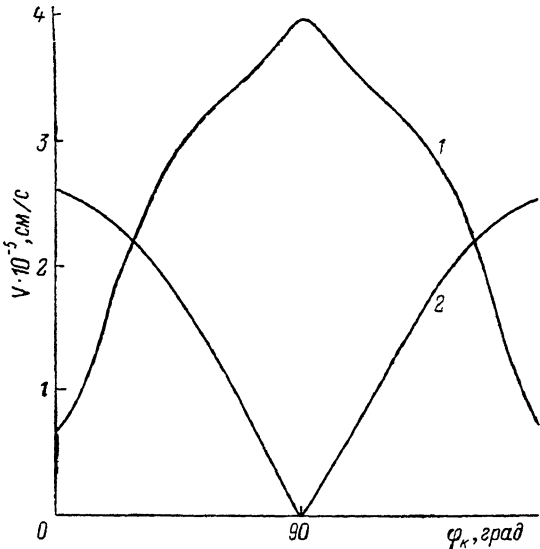


Рис. 2. Зависимость скорости магнитоупругих волн в гематите от азимутального угла φ_k между проекцией волнового вектора k на плоскость базиса xy и плоскостью zx . 1 — $H=0$, волна распространяется в плоскости базиса; 2 — $H \parallel y$, $H=H_c$, волна распространяется под углом ϕ_{kc} к плоскости базиса.

при $H > H_c$ частоты квазиупругих волн с $k \parallel x$ описываются формулами (4)–(6), в которых следует положить $\Delta c = 0$, а частота поперечной квазиупругой волны (волна III) с поляризацией $q \parallel x$, распространяющейся в плоскости yz , описывается формулой (8). Скорость и затухание волны III, распространяющейся под углом ϕ_{kc} к плоскости базиса, определяется выражениями (7), в которых следует положить

$$\xi^2 = H_D(H - H_c)/[H_D(H - H_c) + H_E H_{me'}],$$

$$H_{me'} = H_{e1} + 3(H_{A3} - H_{e3})H_{e3}/H_A^*.$$

В точке ФП ($H=H_c$) скорость этой волны обращается в нуль ($\epsilon \sim 100\%$). Затухание мягкой моды вблизи фазового перехода возрастает пропорционально ξ^{-3} . В отличие от легкоплоскостных АФ [6] мягкая мода в ромбоэдрическом АФ распространяется под углом ϕ_{kc} к плоскости базиса. Для волны с $k \parallel x$, поляризованной под углом ϕ_{kc} к плоскости базиса, максимальное значение $\epsilon \sim 77\%$ в $\alpha\text{-Fe}_2\text{O}_3$ и $\epsilon \sim 2\%$ в FeBO_3 при $H=H_c$.

Величина скорости мягкой акустической моды существенно изменяется в зависимости от величины магнитного поля (рис. 1, кривая 2) и направления распространения волны (рис. 2, 3, кривые 2).

³ Поскольку для ромбоэдрических АФ $\alpha=\text{Fe}_2\text{O}_3$ и FeBO_3 выполняются соотношения $c/B \gg 1$ и $B/M \gg A_A$ (c и B — характерные значения компонент тензоров c и B) и нас интересует интервал полей $H^2 \ll 4\pi B$, то невзаимностью квазиупругих волн, обусловленной нарушением вращательной инвариантности энергии кристалла относительно ориентации в пространстве при наличии магнитного поля H [15] можно пренебречь.

Аналогичные результаты получены для ромбоэдрического АФ, у которого $H_{A'} < 0$. В этом случае фазовый переход осуществляется в поле $H = |H_c|$, приложенном вдоль оси второго порядка. При $H = |H_c|$ обращается в нуль скорость квазиупругой волны с $\mathbf{k} \parallel \mathbf{H}$, поляризован-

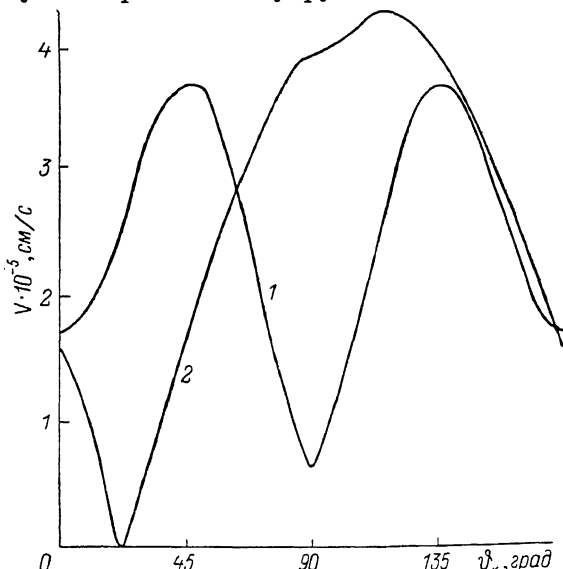


Рис. 3. Зависимость скорости магнитоупругих волн в гематите от полярного угла $\vartheta_k = (\mathbf{k}, \mathbf{z})$.

1 — $H=0$, волна распространяется в плоскости xz ; 2 — $\mathbf{H} \parallel \mathbf{y}$, $H=H_c$, волна распространяется в плоскости симметрии кристалла yz .

ной под углом Φ_{us} к базисной плоскости кристалла. В заключение заметим, что формулы для случая легкоплоскостного гексагонального АФ можно получить из приведенных выше, где следует положить $B_{14}=B_{41}=c_{14}=0$, $H_{As}^*=0$.

Разумеется, влияние дипольной энергии и ромбоэдрической магнитной анизотропии может быть весьма существенным и при анализе нелинейных явлений (например, при расчете модулей упругости высших порядков [7]) и распространении поверхностных акустических волн.

Л и т е р а т у р а

- [1] Ozhogin V. I., Maximenko P. P. IEEE Trans. Magn., 1972, vol. Mag-8, N 3, p. 645.
- [2] Щеглов В. И. ФТТ, 1972, т. 14, № 7, с. 2180—2181.
- [3] Seavey M. H. Sol. St. Commun., 1972, vol. 10, N 2, p. 219—223.
- [4] Максименко П. П., Ожогин В. И. ЖЭТФ, 1973, т. 65, № 2, с. 657—667.
- [5] Бережнов В. В., Евтигиев Н. Н., Преображенский В. Л., Экономов Н. А. Радиотехника и электроника, 1983, т. 28, № 2, с. 376—379.
- [6] Дикштейн И. Е., Тарасенко В. В., Шаэрое В. Г. ЖЭТФ, 1974, т. 67, № 2, с. 816—823.
- [7] Ожогин В. И., Преображенский В. Л. ЖЭТФ, 1977, т. 73, № 3, с. 988—1000.
- [8] Махатова Т. А., Прокошев В. Г. Вестник МГУ, сер. 3, Физика, Астрономия, 1985, т. 26, № 5, с. 59—64.
- [9] Гарланд К. В кн.: Физическая акустика / Под ред. У. Мэзона. М.: Мир, 1974, т. 3, с. 61—109.
- [10] Беспытых Ю. И., Дикштейн И. Е., Тарасенко В. В. ФТТ, 1981, т. 23, № 10, с. 3013—3020.
- [11] Tasaki A., Iida S. J. J. Phys. Soc. Japan, 1963, vol. 18, N 8, p. 1148—1154.
- [12] Oles A., Kajzar F., Kucabas M., Sikora W. Magnetic structures determined by neutron diffraction. Warszawa; Krakow: Panstwowe wydawnictwo naukowe, 1976. 727 p.
- [13] Дзялошинский И. Е. ЖЭТФ, 1957, т. 32, № 6, с. 1547—1562.
- [14] Нитц В. В. ФТТ, 1974, т. 16, № 1, с. 213—215.
- [15] Баръяхтар В. Г., Туров Е. А. Магнитоупругие возбуждения. Препринт ИТФ АН УССР. ИТФ-85-41Р, Киев, 1985. 65 с.